

何兰娟, 邓渊, 王燕, 等. 四神丸对溃疡性结肠炎模型大鼠结肠组织 TLR4、NOD2 表达的影响 [J]. 中国实验动物学报, 2022, 30(5): 613–618.

He LJ, Deng Y, Wang Y, et al. Effect of Sishen pills on the expression of TLR4 and NOD2 in a rat colon with ulcerative colitis [J]. Acta Lab Anim Sci Sin, 2022, 30(5): 613–618.

Doi:10.3969/j.issn.1005-4847.2022.05.003

## 四神丸对溃疡性结肠炎模型大鼠结肠组织 TLR4、 NOD2 表达的影响

何兰娟<sup>1</sup>, 邓渊<sup>2</sup>, 王燕<sup>1,3</sup>, 朱向东<sup>1,3\*</sup>

(1. 甘肃中医药大学, 兰州 730101; 2. 甘肃省人民医院, 兰州 730000; 3. 宁夏医科大学, 银川 750004)

**【摘要】目的** 通过对比大鼠结肠组织中的 Toll 样受体 4 (TLR4) 和核苷酸结合寡聚化结构域蛋白 2 (NOD2) 治疗前后水平的变化, 从修复肠粘膜屏障的角度探讨四神丸治疗溃疡性结肠炎 (ulcerative colitis, UC) 的作用机制。**方法** UC 大鼠模型制备采用三硝基苯磺酸/乙醇溶液灌肠法。将 40 只大鼠随机分为空白组、模型组、柳氮磺嘧啶组 ( $0.36 \text{ g}/(\text{kg} \cdot \text{d})$ ) 和中药组 ( $5 \text{ g}/(\text{kg} \cdot \text{d})$ ), 通过采用 HE 染色法、RT-qPCR 法、SP 法和 Western Blot 法观察结肠组织中 TLR4、NOD2 的基因和蛋白表达。**结果** 与空白组相比较, 模型组大鼠结肠损伤严重, 损伤评分显著增高 ( $P < 0.01$ ), TLR4、NOD2 mRNA 和蛋白表达显著升高 ( $P < 0.01, P < 0.05$ ); 与模型组相比较, 各治疗组大鼠结肠损伤有一定程度的恢复, 损伤评分显著降低 ( $P < 0.01, P < 0.05$ ), TLR4、NOD2 mRNA 和蛋白表达显著降低 ( $P < 0.01, P < 0.05$ )。**结论** 四神丸可以通过提高大鼠的免疫功能, 抑制肠道炎症反应, 达到治疗 UC 的目的。

**【关键词】** 四神丸; 溃疡性结肠炎; Toll 样受体 4; 核苷酸结合寡聚化结构域蛋白 2

**【中图分类号】** Q95-33    **【文献标识码】** A    **【文章编号】** 1005-4847 (2022) 05-0613-06

## Effect of Sishen pills on the expression of TLR4 and NOD2 in a rat colon with ulcerative colitis

HE Lanjuan<sup>1</sup>, DENG Yuan<sup>2</sup>, WANG Yan<sup>1,3</sup>, ZHU Xiangdong<sup>1,3\*</sup>

(1. Gansu University of Chinese Medicine, Lanzhou 730101, China. 2. Gansu Provincial Hospital, Lanzhou 730000.

3. Ningxia Medical University, Yinchuan 750004)

Corresponding author: ZHU Xiangdong. E-mail: zhuxiangdong33@163.com

**【Abstract】 Objective** To observe the expression of Toll-like receptor 4 (TLR4) and nucleotide binding oligomerization domain protein 2 (NOD2) in the colon of a ulcerative colitis (UC) rat model, and to explore the therapeutic mechanism of Sishen pills in the treatment of UC from the perspective of repairing the intestinal mucosal barrier.

**Methods** A UC rat model was prepared by administration of a trinitrobenzenesulfonic acid/ethanol solution enema. Forty rats were randomly divided into four groups, a blank group, model group, salazopyrimidine group ( $0.36 \text{ g}/(\text{kg} \cdot \text{d})$ ), and Sishen pills group ( $5 \text{ g}/(\text{kg} \cdot \text{d})$ ). The mRNA and protein expressions of TLR4 and NOD2 in colon tissue were detected by

[基金项目]国家自然科学基金项目(81360541, 81760833, 81960826), 兰州市科技发展指导性计划项目(2020-ZD-61), 甘肃省中医药研究中心 2020 年专项开放课题(zyxz-2020-13)。

Funded by National Natural Science Foundation of China (81360541, 81760833, 81960826), Science and Technology Development Guiding Plan Project of Lanzhou (2020-ZD-61), Special Open Project of Gansu Research Center of Traditional Chinese Medicine in 2020 (zyxz-2020-13).

[作者简介]何兰娟(1989—), 女, 住院医师, 研究方向: 中医治则治法。Email: 1032497493@qq.com

[通信作者]朱向东(1973—), 男, 教授, 研究方向: 中医治则治法。Email: zhuxiangdong33@163.com

HE staining, RT-qPCR, SP immunohistochemistry and Western Blot. **Results** Compared with the blank group, the colonic mucosal injury score of the model group was significantly greater ( $P < 0.01$ ), and the expressions of TLR4, NOD2 mRNA and protein were significantly greater ( $P < 0.01$ ,  $P < 0.05$ )；Compared with the model group, the scores of colonic mucosal injury in each treatment group were significantly less ( $P < 0.01$ ,  $P < 0.05$ ), and the expressions of TLR4, NOD2 mRNA and protein were significantly less ( $P < 0.01$ ,  $P < 0.05$ )。**Conclusions** Sishen pills can improve the immune function of rats and inhibit intestinal inflammatory reactions for UC treatment.

**[Keywords]** Sishen pills; ulcerative colitis; Toll-like receptor 4; nucleotide-binding oligomerization domain protein 2

Conflicts of Interest: The authors declare no conflict of interest.

溃疡性结肠炎是一种病因尚不明确的慢性非特异性炎性肠病,且发病率逐年增长。目前 UC 的发病机制多认为与免疫因素相关<sup>[1]</sup>。固有免疫作为人体第一道机体防御感染性防线,它的启动和实施主要依靠模式识别受体 (pattern recognition receptors, PRRs) 识别病原体相关分子模式 (pathogen associated molecular pattern, PAMP)。而哺乳动物中的最典型的两类 PRRs 为 TOLL 样受体 (Toll-like receptors, TLRs) 和核苷酸结合寡聚化结构域受体 (nucleotide-binding domain leucine-rich repeats, NLRs)<sup>[2]</sup>。

目前临床多采用糖皮质激素、免疫抑制剂等免疫疗法,但是疗效不稳定,所以急需寻找一种新的特异性疗法<sup>[3-4]</sup>。近年来,中医药在治疗 UC 和缓解 UC 症状等方面优势明显<sup>[5]</sup>。四神丸之名首载于《陈氏小儿痘疹方论》,临床研究发现其对 UC 具有良好的治疗作用,本课题通过对比四神丸治疗 UC 大鼠后结肠组织中的 TLR4、NOD2 的表达变化,进一步明确其治疗 UC 的机制,为进一步开发利用提供科学依据。

## 1 材料与方法

### 1.1 材料

#### 1.1.1 实验动物

6~8 月龄体重为(180 ± 20)g 的 SPF 级 Wistar 大鼠 40 只(雌雄各 20 只),饲养于温度 21~25℃,相对湿度 50%~60%,光照昼夜交替各 12 h 的环境中,饮水自由,普通饲料喂养。实验用鼠购买和喂养均在甘肃中医药大学实验动物中心进行【SCXK(甘)2020-0001】【SYXK(甘)2020-0009】。本实验符合甘肃中医药大学实验动物伦理会审查要求(2018-081)。

#### 1.1.2 主要试剂与仪器

四神丸(补骨脂、肉豆蔻、五味子、吴茱萸)、柳氮磺胺嘧啶肠溶片均购自于兰州惠仁堂大药房,生

产批号分别为 20140502、1412001、20140812、20140822、09140703。四神丸制备浓缩为 1 g/mL 的药液;柳氮磺胺嘧啶肠溶片研磨后制成浓度为 0.025 g/mL 的药液。所有药品均于 4℃ 保存。

2,4,6-三硝基苯磺酸/TNBS(美国 Sigma 公司,批号 2508-19-2);PCR 试剂盒(Promega Corporation 公司);PCR 引物(生工生物工程股份有限公司);Anti-TLR4 antibody、Anti-NOD2 antibody (abcam 公司,批号 ab13556、ab124348);BCA 蛋白定量试剂盒(北京索莱宝科技有限公司,批号:1431401);DAB 显色试剂盒、SP 检测试剂盒(中杉金桥生物技术有限公司,批号 K156921A、15155A06)等。

iMark 酶标仪、S1000™ 型 PCR 仪、凝胶成像仪、电泳仪电源、电泳槽(美国 Bio-Rad 公司);7500 实时定量 PCR 仪(美国 ABI 公司);XS-212-202 双目显微镜(日本奥林巴斯公司);冷冻离心机(中国上海天美生化仪器设备有限公司)等。

### 1.2 方法

#### 1.2.1 造模及分组

将 40 只 SPF 级 Wistar 大鼠随机分为空白组、模型组、西药组、四神丸组,每组 10 只。将大鼠喂养 1 周后,除空白组外,用三硝基苯磺酸(TNBS)/乙醇溶液灌肠(100 mg/kg)缓慢注入结肠部位制备 UC 大鼠模型<sup>[6]</sup>。

#### 1.2.2 给药与取材

给药剂量按照人与大鼠体表系数折算法计算<sup>[7]</sup>,空白组和模型组以等体积生理盐水灌胃,柳氮磺胺嘧啶组用 SASP 溶液 0.36 g/(kg·d)灌胃治疗,中药组用四神丸 5 g/(kg·d)灌胃治疗。共计干预 21 d。治疗结束后,取动脉血及结肠组织备用。

#### 1.2.3 肉眼观察大鼠结肠粘膜损伤及进行损伤评分

将大鼠处死后取结肠病变部分,洗净后观察大鼠结肠粘膜损伤情况,并参考 Wallace & Keenan 标准<sup>[8]</sup>进行评分(见表 1)。

**表 1** 结肠粘膜损伤评分表**Table 1** Colonic mucosal injury score

损伤情况 Damage condition	分数 Score
无损伤 No damage	0 分 Score 0
局部充血无溃疡 Local congestion without ulcer	1 分 Score 1
1 处溃疡不伴充血或肠壁增厚 1 ulcer without hyperemia or intestinal wall thickening	2 分 Score 2
1 处溃疡伴炎症 1 ulcer with inflammation	3 分 Score 3
> 2 处溃疡伴炎症 > 2 ulcers with inflammation	4 分 Score 4
> 2 处溃疡和/或炎症 > 1 cm > 2 ulcers and/or inflammation > 1 cm	5 分 Score 5

#### 1.2.4 HE 染色法观察大鼠结肠病理组织变化

采用苏木素-伊红染色法染色, 将结肠组织玻片放置在显微镜下观察大鼠结肠病理学改变, 并拍照分析。

#### 1.2.5 RT-qPCR 法检测大鼠结肠组织中 TLR4、NOD2 mRNA 的表达

采用 TRIzol 法提取 RNA 后, 按照 Go Taq 2-Step RT-qPCR System 试剂盒说明书进行操作, 逆转录为 cDNA。运用 PCR 仪进行扩增, 具体配置比例按照 Reverse Transcription System 试剂盒说明进行。采用  $\Delta Ct$  法计算基因的相对表达量, TLR4、NOD2 引物信息见表 2。

**表 2** 引物信息**Table 2** Information of primers

引物 Primers	序列(5'→3') Sequences(5'→3')	长度(bp) Size(bp)
内参	F:GGACCTGACTGACTACCTACTGAA	41
$\beta$ -actin	R:CTTAATGTCACGCACGATTCC	
Toll 样受体 4	F:TGGCATCATCT TCATCTCTCC	94
Toll4	R:CAGAGCATTGTCTCCCACT	
核苷酸结合寡聚化结构域蛋白 2	F:GTTCTGATGGGGTCAGTGG	58
NOD2	R:GACGCCCTAGAGGGTAAGC	

#### 1.2.6 SP 免疫组化法检测大鼠结肠组织中 TLR4、NOD2 蛋白的表达

将切片放入二甲苯及乙醇溶液中脱蜡水化, 灭活内源性过氧化物酶后进行抗原修复, 滴加封闭用正常山羊血清工作液阻断非特异性反应, 加入一抗 TLR4(1:200), NOD2(1:400), 再滴加生物素标记山羊抗兔/小鼠 IgE 及滴加辣根酶标记链霉卵白

素工作液, 最后 DAB 显色、复染、脱水透明封片分析其平均光密度值。

#### 1.2.7 Western Blot 检测 TLR4、NOD2 蛋白的表达

蛋白提取后, 电泳跑胶转膜封闭后, 加入一抗 TLR4(1:500), NOD2(1:2000),  $\beta$ -actin(1:1000), 37°C 孵育 30 min, 4°C 过夜; 加入二抗(1:5000)。曝光后进行分析。

#### 1.3 统计学分析

结果采用 SPSS 19.0 软件处理, 数据均以平均值  $\pm$  标准差( $\bar{x} \pm s$ )表达, 多组间均数比较采用单因素方差分析,  $P < 0.05$  表示组间比较具有显著性差异。

## 2 结果

#### 2.1 大鼠结肠粘膜损伤情况

空白组大鼠结肠粘膜光滑, 未见充血、溃疡等情况; 模型组大鼠结肠可见不同程度粘膜充血, 部分可见水肿糜烂溃疡, 肠壁增厚; 柳氮磺胺嘧啶组和中药组大鼠结肠可有不同程度恢复, 轻度充血水肿, 基本无糜烂及溃疡面。模型组结肠组织损伤评分较空白组明显升高( $P < 0.01$ ), 柳氮磺胺嘧啶组和四神丸组结肠组织损伤评分较模型组明显降低( $P < 0.05$ ,  $P < 0.01$ )(见表 3)。

**表 3** 各组症状积分及结肠肉眼评分表( $\bar{x} \pm s, n = 10$ )**Table 3** Symptom score and macroscopic colon score of each group( $\bar{x} \pm s, n = 10$ )

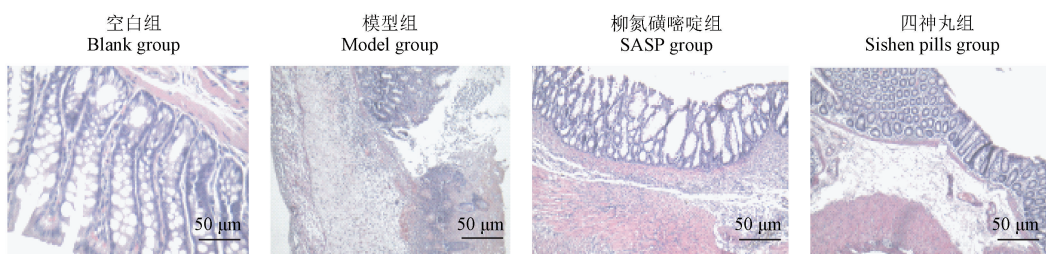
组别 Groups	剂量(g/kg) Dose (g/kg)	结肠粘膜损伤评分 Colonic mucosal injury score
空白组 Blank group	0.00	0.30 ± 0.48
模型组 Model group	0.00	2.50 ± 1.08 <sup>△</sup>
柳氮黄嘧啶组 SASP group	0.36	1.50 ± 0.85 <sup>▲</sup>
四神丸组 Sishen pills group	5.00	1.30 ± 0.95 <sup>*</sup>

注: 与空白组相比, <sup>△</sup> $P < 0.01$ ; 与模型组相比, <sup>\*</sup> $P < 0.01$ , 与柳氮磺胺嘧啶组相比, <sup>▲</sup> $P < 0.05$ 。(下表同)

Note. Compared with the blank group, <sup>△</sup> $P < 0.01$ . Compared with the model group, <sup>\*</sup> $P < 0.01$ . Compared with the SASP group, <sup>▲</sup> $P < 0.05$ . (The same in the following tables)

#### 2.2 大鼠结肠病理形态学观察

空白组大鼠结肠黏膜结构清晰无异常; 模型组结肠组织结构被破坏, 可见大量炎性细胞浸润并伴有溃疡; 柳氮磺胺嘧啶组和四神丸组结肠粘膜逐步恢复正常结构, 炎性细胞浸润情况较模型组减轻, 可见肠壁增厚及肉芽组织增生(见图 1)。



**图 1** 各组大鼠结肠病理形态学变化  
**Figure 1** Pathological changes of colon in each group

### 2.3 对大鼠结肠组织 TLR4、NOD2 mRNA 的影响

模型组大鼠结肠组织中 TLR4、NOD2 mRNA 表达水平较空白组明显上升( $P < 0.01$ )；柳氮磺胺嘧啶组和四神丸组结肠组织中 TLR4、NOD2 mRNA 表达水平较模型组明显降低( $P < 0.05, P < 0.01$ ) (见表 4)。

### 2.4 对大鼠结肠组织 TLR4、NOD2 蛋白定位的影响

TLR4 和 NOD2 在空白组中基本不表达，在模型组中的黏膜上层和固有层中表达明显增多，经治疗后，表达明显降低。模型组结肠组织中 TLR4、NOD2

蛋白表达水平较空白组明显升高( $P < 0.05$ )；氮磺胺嘧啶组和四神丸组结肠组织中 TLR4、NOD2 蛋白表达水平较模型组明显下降( $P < 0.05, P < 0.01$ ) (见图 2, 表 5)。

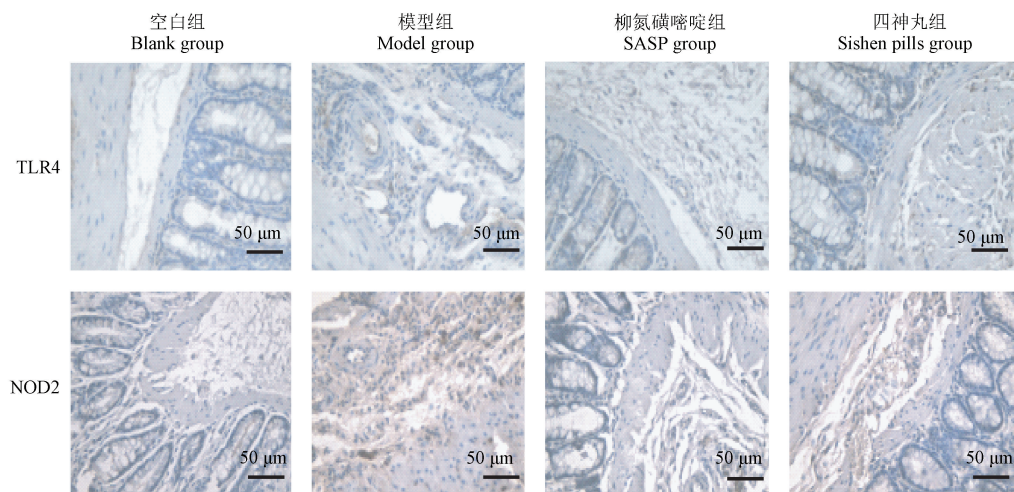
### 2.5 对 UC 大鼠结肠组织 TLR4 与 NOD2 蛋白表达的影响

与空白组比较，模型组大鼠结肠组织中 TLR4、NOD2 蛋白表达水平明显上升( $P < 0.01$ )；氮磺胺嘧啶组和四神丸组大鼠结肠组织中 TLR4、NOD2 蛋白表达水平较模型组明显下降( $P < 0.01$ ) (见图 3, 表 6)。

**表 4** 各组大鼠结肠组织中 TLR4、NOD2 mRNA 的表达( $\bar{x} \pm s, n = 10$ )

**Table 4** Expression of TLR4 and NOD2 mRNA in colon tissue of rats in each group ( $\bar{x} \pm s, n = 10$ )

组别 Groups	剂量(g/kg) Dose(g/kg)	Toll 样受体 4		核苷酸结合寡聚化结构域蛋白 2	
		TLR4	NOD2	TLR4	NOD2
空白组 Blank group	0.00	1.00 ± 0.00		1.00 ± 0.00	
模型组 Model group	0.00	1.69 ± 0.13 <sup>△</sup>		1.55 ± 0.21 <sup>△</sup>	
柳氮黄嘧啶组 SASP group	0.36	1.24 ± 0.99 <sup>▲</sup>		1.37 ± 0.80 <sup>▲</sup>	
四神丸组 Sishen pills group	5.00	1.33 ± 0.28 <sup>*</sup>		1.21 ± 0.62 <sup>*</sup>	



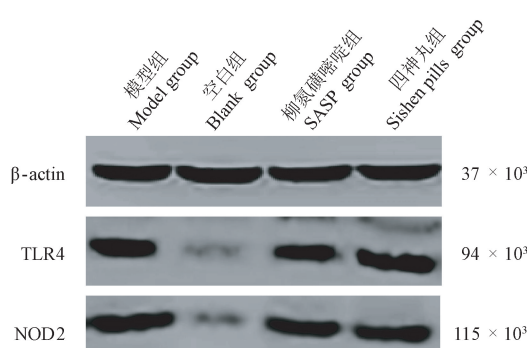
**图 2** 各组大鼠结肠组织中 TLR4、NOD2 蛋白的表达  
**Figure 2** Expression of TLR4 and NOD2 protein in colon tissue of rats in each group

**表 5** 各组大鼠结肠组织中 TLR4、NOD2 蛋白表达( $\bar{x} \pm s, n = 10$ )**Table 5** Expression of TLR4 and NOD2 protein in colon tissue of rats in each group( $\bar{x} \pm s, n = 10$ )

组别 Groups	剂量(g/kg) Dose(g/kg)	Toll 样受体 4 TLR4	核苷酸结合寡聚化结构域蛋白 2 NOD2
空白组 Blank group	0.00	0.315 ± 0.039	0.291 ± 0.006
模型组 Model group	0.00	0.344 ± 0.010 <sup>△</sup>	0.411 ± 0.005 <sup>△</sup>
柳氮黄嘌呤组 SASP group	0.36	0.324 ± 0.030 <sup>▲</sup>	0.311 ± 0.003 <sup>▲</sup>
四神丸组 Sishen pills group	5.00	0.310 ± 0.006 <sup>*</sup>	0.370 ± 0.010 <sup>*</sup>

**表 6** 各组大鼠结肠组织中 TLR4、NOD2 蛋白的相对表达量( $\bar{x} \pm s, n = 10$ )**Table 6** Relative expression of TLR4 and NOD2 proteins in colon of rats in each group( $\bar{x} \pm s, n = 10$ )

组别 Groups	剂量(g/kg) Dose(g/kg)	Toll 样受体 4 TLR4	核苷酸结合寡聚化结构域蛋白 2 NOD2
空白组 Blank group	0.00	0.459 ± 0.079	0.643 ± 0.237
模型组 Model group	0.00	0.920 ± 0.032 <sup>△</sup>	1.045 ± 0.186 <sup>△</sup>
柳氮黄嘌呤组 SASP group	0.36	0.808 ± 0.077 <sup>▲</sup>	0.859 ± 0.107 <sup>▲</sup>
四神丸组 Sishen pills group	5.00	0.751 ± 0.049 <sup>*</sup>	0.825 ± 0.029 <sup>*</sup>

**图 3** 大鼠结肠组织中 TLR4、NOD2 蛋白表达电泳**Figure 3** Electrophoresis of TLR4、NOD2 protein expression in rat colon

### 3 讨论

UC 属于中医学中“泄泻”的范畴,若先天禀赋不足,则会导致肾阴阳之亏虚,继而导致脾失濡养,脾肾亏虚最终运化无能导致泄泻,所以 UC 的发病多与脾肾密切相关,而脾肾阳虚又进一步助长了湿气的产生,因此“阳虚湿盛”为 UC 发生的重要病机。四神丸由肉豆蔻、五味子、补骨脂、吴茱萸、生姜、大枣组成,适用于由脾肾虚寒所致的肠失固摄之证。诸药相配,则脾肾温则运化复,大肠固而泄可止。

TLR4 作为人类首个发现的 TLR 相关蛋白,广泛存在于人体的各类细胞中,是参与免疫炎症反应的重要因子<sup>[9]</sup>, TLR 与内源性配体结合后触发炎症,产生免疫应答。NF-κB 是位于 TLR4 的下游信号通路,大量的研究显示 TLR4/NF-κB 信号通路与抗炎免疫机制密切相关,在炎症发生发展过程中发挥着重要作用<sup>[10]</sup>。近年来,相关研究在肠粘膜上皮

细胞中也发现 TLR4 的存在,并证明其在减轻肠道损伤方面具有重要意义<sup>[11]</sup>。

NOD2 作为一种细胞内模式识别受体,通过与其配体 MDP 相结合,主要存在于单核细胞、巨噬细胞、淋巴细胞等<sup>[12]</sup>。正常情况下,NOD2 通过 NF-κB 信号通路激活其下游的各种炎症介质,从而介导机体的炎症反应<sup>[13]</sup>。有研究显示 NOD2 在识别和杀灭细菌功能方面有密切的联系,提示 NOD2 可能还有直接杀菌的作用<sup>[14]</sup>。另外,有研究显示,NOD2 基因突变可以导致肠道屏障受损,使得肠道杀菌能力降低,引起致病菌侵入并导致相关炎症反应<sup>[15-16]</sup>。

因此,Toll 样受体和 NOD 样受体作为启动固有免疫,激活免疫应答的重要因子,在免疫反应中有着至关重要的作用。本研究结果显示,模型组中 TLR4 和 NOD2 含量明显增高,经四神丸治疗后,TLR4 和 NOD2 含量明显降低,提示四神丸可以提高大鼠的免疫功能,抑制炎症反应,修复大鼠肠道屏障,达到治疗 UC 的目的。

### 参 考 文 献(References)

- [1] Liu ZJ, Yadav PK, Su JL, et al. Potential role of TH17 cells in the pathogenesis of inflammatory bowel disease [J]. World J Gastroenterol, 2009, 15(46): 5784-5788.
- [2] 饶振华, 谢小梅. NODs 蛋白及其与 TLRs 相互调控在机体抗病原真菌感染中的作用 [J]. 中华微生物学和免疫学杂志, 2012, 32(3): 281-285.
- Rao ZH, Xie XM. The role of NODs proteins and their interaction with TLRs in the body's resistance to fungal infection [J]. Chin J Microbiol Immunol, 2012, 32(3): 281-285.
- [3] 冉志华, 童锦禄. 炎症性肠病诊断与治疗的共识意见(2018 年, 北京)克罗恩病部分解读 [J]. 中华消化杂志, 2018, 38

- (5) : 315–317.
- Ran ZH, Tong JL. Interpretation of the consensus on diagnosis and management of inflammatory bowel disease (Beijing, 2018) from the perspective of diagnosis of Crohn's disease [J]. Chin J Dig, 2018, 38(5) : 315–317.
- [ 4 ] Guo BJ, Bian ZX, Qiu HC, et al. Biological and clinical implications of herbal medicine and natural products for the treatment of inflammatory bowel disease [J]. Ann N Y Acad Sci, 2017, 1401(1) : 37–48.
- [ 5 ] 顾思臻, 薛艳, 张玉丽, 等. 口服中药复方治疗溃疡性结肠炎临床疗效 Meta 分析 [J]. 中国中西医结合消化杂志, 2018, 26(12) : 981–986.
- Gu SZ, Xue Y, Zhang YL, et al. Meta-analysis of the efficacy of oral traditional Chinese medicine in the treatment of ulcerative colitis [J]. Chin J Integr Tradit West Med Dig, 2018, 26(12) : 981–986.
- [ 6 ] 梁勇, 颜丽萍, 苏林, 等. 枯草杆菌二联活菌对溃疡性结肠炎大鼠的作用及机制 [J]. 中国老年学杂志, 2017, 37(1) : 27–29.
- Liang Y, Yan LP, Su L, et al. Effect and mechanism of *Bacillus subtilis* on rats with ulcerative colitis [J]. Chin J Gerontol, 2017, 37(1) : 27–29.
- [ 7 ] 赖慧敏, 黄敏聪, 楼招欢, 等. 天台乌药对 TNBS 诱导的溃疡性结肠炎模型大鼠的抗炎作用研究 [J]. 中国比较医学杂志, 2021, 31(2) : 37–44.
- Lai HM, Huang MC, Lou ZH, et al. The effect of Tiantai Radix Linderae on a rat model of ulcerative colitis induced by TNBS [J]. Chin J Comp Med, 2021, 31(2) : 37–44.
- [ 8 ] Wallace JL, Keenan CM. An orally active inhibitor of leukotriene synthesis accelerates healing in a rat model of colitis [J]. Am J Physiol, 1990, 258(4) : G527–G534.
- [ 9 ] 郭晓强. Toll 受体的发现及其意义 [J]. 生物学教学, 2012, 37(3) : 59–60.
- Guo XQ. Discovery of toll like receptor and its significance [J]. Biol Teach, 2012, 37(3) : 59–60.
- [ 10 ] 王娜, 张雪梅, 陈立杰. TLR4 信号通路与炎症相关性疾病 [J]. 中国实验诊断学, 2015, 19(5) : 857–860.
- Wang N, Zhang XM, Chen LJ. TLR4 signaling pathway and inflammation related diseases [J]. Chin J Lab Diagn, 2015, 19(5) : 857–860.
- [ 11 ] 于志坚. 溃疡性结肠炎菌群变化对肠上皮细胞 TLRs 表达影响 [D]. 乌鲁木齐: 新疆医科大学; 2016.
- Yu ZJ. Effect of bacterial flora of ulcerative colitis on the expression of TLRs in intestinal epithelial cells [D]. Urumqi: Xinjiang Medical University; 2016.
- [ 12 ] 高其宏, 芮景. 细胞内模式识别受体 NOD2 蛋白的研究进展 [J]. 放射免疫学杂志, 2008, 21(5) : 432–434.
- Gao QH, Rui J. Research progress of intracellular pattern recognition receptor NOD2 protein [J]. J Radioimmunol, 2008, 21(5) : 432–434.
- [ 13 ] Inohara N, Ogura Y, Chen FF, et al. Human nod1 confers responsiveness to bacterial lipopolysaccharides [J]. Biol Chem, 2001, 276(4) : 2551–2554.
- [ 14 ] Hisamatsu T, Suzuki M, Reinecker HC, et al. CARD15/NOD2 functions as an antibacterial factor in human intestinal epithelial cells [J]. Gastroenterology, 2003, 124(4) : 993–1000.
- [ 15 ] Kim YG, Shaw MH, Warner N, et al. Cutting edge: Crohn's disease-associated Nod2 mutation limits production of proinflammatory cytokines to protect the host from *Enterococcus faecalis*-induced lethality [J]. J Immunol, 2011, 187(6) : 2849–2852.
- [ 16 ] Ferreira CM, Vieira AT, Vinolo MAR, et al. The central role of the gut microbiota in chronic inflammatory diseases [J]. J Immunol Res, 2014, 2014 : 1–12.

[ 收稿日期] 2021-11-29